

La Manovra di Cris*; Diagnosi Clinica e Rapida del Reale Rischio Congenito aspecifico, non oncologico.

Di Sergio Stagnaro

Introduzione

I Reali Rischi Congeniti (RRC), dipendenti dalle relative Costituzioni Semeiotico-Biofisico-Quantistiche (SBQ), sono suddivisi nel tipo oncologico e in quello aspecifico (1-10), precisato dalla sua sede (5).

A partire dalla nascita, con l'aiuto di originali ed affidabili metodi clinici SBQ, tra cui la **Manovra di Moncada** (11), il Medico è in grado di riconoscere *bedside* in pochi secondi il tipo oncologico di un RRC, localizzandolo poi con esattezza, per esempio, nel corpo e nel collo uterino, Manovra di Filippeschi (12), oppure nelle strutture articolari, Segno di Favaro (13).

Di seguito è illustrata per la prima volta la **Manovra di Cris**, che permette al medico in pochi secondi di riconoscere la natura aspecifica, non oncologica, di un RRC.

Da anni ormai, il Medico può fare diagnosi differenziale tra RRC aspecifico e tumorale, usando la **Manovra di Terziani** (14). Tuttavia, solo Medici esperti in SBQ sono in capaci di fare una simile elegante diagnosi differenziale, fondata sulla differente intensità del Riflesso Gastrico Aspecifico (0,5 cm. nel RRC oncologico) che appare 3 sec. dopo l'inizio della Manovra di Terziani. Pertanto, la **Manovra di Cris**, corroborando la precedente, rende molto più facile riconoscere con un fonendoscopio, il tipo di un RRC a partire dalla nascita. La coerenza interna ed esterna alla base delle teorie SBQ ancora una volta evidenziata, ne corrobora il valore scientifico. Certamente, la coerenza non è sinonimo di verità scientifica, ma dove non esiste la prima non è possibile trovare la seconda.

Manovra di Cris

In precedenti articoli ho illustrato la relazione esistente tra GH-RH e i vari sistemi biologici, sottolineando il valore patogenetico della *up-regulation* dei recettori per il GH nel tessuto neoplastico (15-18).

Dopo meno di quattro secondi dall'inizio della Manovra di Terziani, esclusivamente in presenza di un RRC aspecifico, da localizzare subito dopo con altri numerosi segni della SBQ, appare Attivazione Microcircolatoria associata, di tipo I (19), nel microcircolo del GH-RH (Fig. 1).

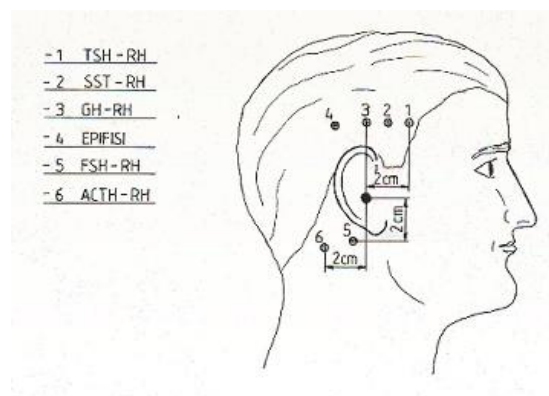


Fig. 1

L'intensità dell'attivazione microcircolatoria è correlata con la gravità del RRC. sottostante.

Assai più facile, affidabile ma meno raffinata, è la valutazione dei valori parametrici del Riflesso GH-RH - Gastrico Aspecifico, ricercati prima e subito dopo l'esecuzione della manovra di Terziani. Nella seconda valutazione. In caso di RRC aspecifico si osserva il preconditionamento del GH-RH: il tempo di latenza del Riflesso GH-RH -Gastrico Aspecifico è doppio del valore basale.

*Manovra dedicata alla mia cara amica Cris Caramel.

Bibliografia

- 1) **Stagnaro Sergio**. Reale Rischio Semeiotico Biofisico. I Dispositivi Endoarteriolari di Blocco neoformati, patologici, tipo I, sottotipo a) oncologico, e b) aspecifico. Ediz. Travel Factory, www.travelfactory.it, Roma, 2009.
- 2) **Sergio Stagnaro (2012)**. Valutazione Semeiotico-Biofisico-Quantistica dell'Attività Funzionale dei Sistemi Biologici. Il Ruolo dei Dispositivi Endoarteriolari di Blocco, fisiologici e neoformati-patologici tipo I, sottotipo a) e b). <http://www.sisbq.org/libri-e-articoli.html>, e-book, http://www.sisbq.org/uploads/5/6/8/7/5687930/valutazione_attivit_biolg_2012.pdf
- 3) **Sergio Stagnaro and Simone Caramel**. BRCA-1 and BRCA-2 mutation bedside detection and breast cancer clinical primary prevention. *Front. Genet.* | doi: 10.3389/fgene.2013.00039. http://www.frontiersin.org/Cancer_Genetics/10.3389/fgene.2013.00039/full [MEDLINE]
- 4) **Sergio Stagnaro and Simone Caramel**. The Key Role of Vasa Vasorum Inherited Remodeling in QBS Microcirculatory Theory of Atherosclerosis. *Frontiers in Epigenomics and Epigenetics*. http://www.frontiersin.org/Epigenomics_and_Epigenetics/10.3389/fgene.2013.00055/full [MEDLINE]
- 5) **Sergio Stagnaro and Simone Caramel**. Inherited Real Risk of Type 2 Diabetes Mellitus: bedside diagnosis, pathophysiology and primary prevention. *Frontiers in Endocrinology (Lausanne)*. 2013; 4: 17. <http://www.frontiersin.org/Review/ReviewForum.aspx> [Medline].
- 6) **Marco Marchionni, Simone Caramel, Sergio Stagnaro**. The Role of 'Modified Mediterranean Diet' and Quantum Therapy In Alzheimer's Disease Primary Prevention. *Letter to the Editor, The Journal of Nutrition, Health & Aging*, Volume 18, Number 1, 2014, Springer Ed. <http://link.springer.com/article/10.1007/s12603-013-0435-7> [Medline]
- 7) **Stagnaro-Neri M., Stagnaro S.**, Diagnosi Clinica Precoce dell'Osteoporosi con la Percussione Ascoltata. *Clin.Ter.* 137, 21-27, 1991 [Medline]
- 8) **Sergio Stagnaro and Simone Caramel (2012)**. "The Role of Mediterranean Diet, CoQ10 and Conjugated-Melatonin in Osteoporosis Primary Prevention and Therapy" "**Current Nutrition & Food Science**" Vol. 8, No.1, 2012.
- 9) **Sergio Stagnaro and Simone Caramel (2012)**. Quantum Therapy: A New Way in Osteoporosis Primary Prevention and Treatment. *Journal of Pharmacy and Nutrition Sciences*, (27 June 2012) | doi:10.1038/ejcn.2012.76, <http://www.nature.com/doifinder/10.1038/ejcn.2012.76>. PMID:22739250 [MEDLINE]
- 10) **Sergio Stagnaro**. A fundamental bias of the research: Overlooking Congenital Acidotic Enzyme-Metabolic Histangiopathy-Dependent Brain Inherited Real Risk. **Journal of Neurology, Neurosurgery & Psychiatry with practical Neurology**, 5 May, 2009. <http://jnnp.bmj.com/content/80/11/1206/reply>
- 11) **Sergio Stagnaro (2018)**. Manovra di Moncada. Diagnosi Differenziale tra Lesione Benigna e Maligna in 15 secondi. [HTTP://WWW.SISBQ.ORG/UPLOADS/5/6/8/7/5687930/MANOVRADIMONCADA.PDF](http://www.sisbq.org/uploads/5/6/8/7/5687930/MANOVRADIMONCADA.PDF)
- 12) **Sergio Stagnaro (2018)**. [Manovra di Filippeschi: Diagnosi Clinica di Cancro del Corpo e del Collo Uterino a partire dal loro Reale Rischio Congenito](http://www.sisbq.org/uploads/5/6/8/7/5687930/manovradifilippeschi.pdf). <http://www.sisbq.org/uploads/5/6/8/7/5687930/manovradifilippeschi.pdf> e <https://sergiostagnaro.wordpress.com/2018/10/10/manovra-di-filippeschi-diagnosi-clinica-di-cancro-del-corpo-e-del-collo-uterino-a-partire-dal-loro-reale-rischio-congenito/>
- 13) **Sergio Stagnaro (2018)**. Il Segno di Favaro nella Diagnosi delle Reumopatie. <http://www.sisbq.org/uploads/5/6/8/7/5687930/segnodifavaro.pdf> e <https://dabpensiero.wordpress.com/2018/10/11/il-segno-di-favaro-nella-diagnosi-delle-reumopatie/>
- 14) **Sergio Stagnaro (2018)**. [Semeiotica Biofisica Quantistica, Scienza delle Sorprese. Manovra di Terziani rivela il danno d'organo anche iniziale. in pdf](http://www.sisbq.org/uploads/5/6/8/7/5687930/dannoorgano.pdf) <http://www.sisbq.org/uploads/5/6/8/7/5687930/dannoorgano.pdf> e <https://dabpensiero.wordpress.com/2018/05/25/semeiotica-biofisica-quantistica-scienza-delle-sorprese-manovra-di-terzia/>
- 15) **Stagnaro Sergio**. Quantum Biophysical Semeiotics Evaluation of pancreatic beta-Cell Function by means of acute pick stimulation of GH-RH secretion. 6 May 2009, <http://sciphu.com/>, <http://sciphu.com/2009/05/quantum-biophysical-semeiotics.html>
- 16) **Sergio Stagnaro, Simone Caramel**. Bardi's Manoeuvre: GH-RH on bedside Diagnosing Insulin-Secretion and Arterial Hypertension with the Aid of Quantum Biophysical Semeiotics. - <http://www.sisbq.org/uploads/5/6/8/7/5687930/bardimanoeuvre.pdf>
- 17) **Sergio Stagnaro**. Valutazione semeiotico-biofisica clinica della funzione della cellula beta-pancreatica mediante il picco acuto di secrezione del GH-RH [.http://www.sisbq.org/uploads/5/6/8/7/5687930/valutazioneghrh.pdf](http://www.sisbq.org/uploads/5/6/8/7/5687930/valutazioneghrh.pdf)

18) **Sergio Stagnaro.** [Il Segno di Di Perri. Diagnosi clinica SBQ endocrinologica di appendicite: attivazione microcircolatoria nel centro neuronale del GH-RH.](http://www.sisbq.org) www.sisbq.org; <http://www.sisbq.org/ultimissime.html>

19) **Sergio Stagnaro - Marina Neri Stagnaro.** Microangiologia Clinica. A cura di Simone Caramel. e-book, www.sisbq.org, <http://www.sisbq.org/uploads/5/6/8/7/5687930/microangiologiaclinicasbq2016.pdf>